

На правах рукописи

ШАРАФУТДИНОВ Азат Уралович

Спиновые корреляции в квантовых точках и наночастицах

Специальность 01.04.02 — Теоретическая физика

Автореферат
диссертации на соискание ученой степени
кандидата физико-математических наук

Черноголовка – 2015

Работа выполнена в Федеральном государственном бюджетном учреждении науки
Институт теоретической физики им. Л.Д. Ландау Российской академии наук.

Научный руководитель: **Бурмистров Игорь Сергеевич**
доктор физико-математических наук,
старший научный сотрудник,
Институт теоретической физики им. Л.Д. Ландау
Российской академии наук

Официальные оппоненты: **Вальтер Валентинович Погосов**
доктор физико-математических наук,
ведущий научный сотрудник,
Всероссийский научно-исследовательский
институт автоматики им. Н.Л. Духова

Борис Николаевич Нарожный
кандидат физико-математических наук,
доцент Национального исследовательского
ядерного университета «МИФИ»

Ведущая организация: Институт физики твердого тела Российской академии наук

Защита диссертации состоится 25.12.15 на заседании диссертационного совета Д
002.207.01 при Федеральном государственном бюджетном учреждении науки Институт
теоретической физики им. Л.Д. Ландау Российской академии наук по адресу: 142432,
Московская обл. г. Черноголовка, просп. Академика Семенова, д. 1-А, Институт теорети-
ческой физики им. Л.Д. Ландау РАН. С диссертацией можно ознакомиться в библиотеке
Института теоретической физики им. Л.Д. Ландау РАН. Автореферат разослан _____
2015 г.

Ученый секретарь
диссертационного совета
доктор физ.-мат. наук

Гриневич Пётр Георгиевич

Общая характеристика работы

Актуальность темы.

Данная диссертационная работа представляет собой исследование влияния анизотропии спиновых корреляций на проявления мезоскопической стоунеровской неустойчивости в термодинамических и транспортных свойствах квантовых точек. Особое внимание будет уделено области вблизи стоунеровской неустойчивости, так как в этой области данные проявления выражены особенно ярко и не размываются при высоких температурах.

Квантовые точки представляют собой нульмерные сильно коррелированные электронные системы. Одночастичный спектр квантовой точки можно найти с помощью уравнений Шредингера. Однако, вид этого спектра зависит от формы потенциала задающего квантовую точку, который, в свою очередь, может зависеть, например, от затворного напряжения. Таким образом при вычислении наблюдаемых величин для квантовой точки необходимо учитывать флуктуации одночастичного спектра. Статистику одночастичных уровней можно описать теорией случайных матриц [12]. С уменьшением размеров электронных систем все большее значение имеют корреляции электронов между собой за счет взаимодействия в кулоновском, обменном и куперовском каналах. Наиболее выраженным эффектом является кулоновская блокада – подавление транспорта через квантовую точку при низких температурах. Вызван этот эффект тем, что сильное кулоновское взаимодействие препятствует помещению на квантовую точку дополнительного электрона. Обменное же взаимодействие приводит к спиновым корреляциям. Это более тонкие эффекты, но их проявления наблюдаются на экспериментах. В частности, они проявляются в статистике флуктуаций высот и расстояний между кулоновскими пиками [2, 3]. Дальнейшее исследование эффектов обменного взаимодействия показало, что свойства квантовой точки зависят от типа обменного взаимодействия - для изотропного(гейзенберговского) обменного взаимодействия и изинговского обменного взаимодействия поведение квантовой точки различается. В связи с этим возникла необходимость сравнительного анализа. В

частности в работе [1] был проделан соответствующий анализ в рамках теории возмущений по анизотропии и предсказывался дополнительный пик в туннельной плотности состояний.

Данная диссертационная работа посвящена исследованию влияния анизотропного обменного взаимодействия между электронами на термодинамические и транспортные свойства квантовых точек.

Цель работы.

Целью настоящей диссертационной работы является изучение влияния анизотропии обменного взаимодействия в квантовой точке на термодинамические и транспортные свойства электронов в квантовых точках. В центре внимания будут эффекты вызванные мезоскопической стоунеровской неустойчивости. Эти эффекты наиболее заметны в области вблизи перехода Стоунера, поэтому этой области будет уделено особое внимание.

Основные положения, выносимые на защиту:

1. Флуктуации одночастичного спектра квантовой точки не вызывают сдвига стоунеровской неустойчивости.
2. Дополнительная немонотонность в туннельной плотности состояний предсказанная в работе [1] отсутствует.
3. Температурная зависимость спиновой восприимчивости подавлена за счет анизотропии обменного взаимодействия.
4. Флуктуации одночастичного спектра приводят к существенному уширению частотной зависимости динамической спиновой восприимчивости вблизи перехода Стоунера.
5. Диссипативное действие для спина, записанное через переменные Вея-Нормана-Колоколова позволяет описывать динамику спина квантовой точки туннельно связанной с резервуаром вне адиабатического приближения.

Научная новизна и достоверность.

Результаты диссертации являются новыми. Достоверность ее выводов обеспечена надежностью применявшихся методов и подтверждается результатами апробации работы.

Научная и практическая ценность.

Диссертация носит теоретический характер. Исследование электронных корреляций важно для дальнейшего уменьшения размеров электронных систем. Выражения для корреляторов гамильтониана с анизотропным обменным взаимодействием могут иметь самостоятельную ценность как аналитически точные результаты.

Апробация диссертации.

Результаты диссертации докладывались: на международном симпозиуме по "Топологии и неравновесности в низкоразмерных электронных системах" (Франция, Лез-Уш, 2013), на XX Уральской международной зимней школе по физике полупроводников (Екатеринбург-Новоуральск, 2014), на международном симпозиуме "Текущие достижения и перспективы в области скейлинга, мультифрактальности, взаимодействий и топологических эффектов вблизи перехода Андерсона" (Германия, Дрезден, 2014), а также на ученом совете в ИТФ им. Л. Д. Ландау РАН и на семинаре в ИФТТ РАН.

Публикации.

Результаты диссертации опубликованы в 3 статьях в научных журналах, входящих в перечень ВАК. Список работ приведен в конце автореферата.

Структура диссертации.

Диссертация состоит из введения, четырех глав, заключения, приложений и списка литературы.

Содержание работы

Во введении дан краткий обзор литературы, аргументированна актуальность и научная новизна полученных результатов. Представлены основные результаты диссертации. В главе 1 определяется модельный универсальный гамильтониан с анизотропным обменным взаимодействием и выводятся точные аналитические выражения для статистической суммы, продольной и поперечной спиновой восприимчивости и туннельной плотности состояний.

В металлическом режиме при $E_{Th}/\delta \gg 1$ квантовая точка хорошо описывается достаточно простым универсальным гамильтонианом следующего вида

$$H = H_0 + H_C + H_S. \quad (1)$$

Здесь δ - среднее расстояние между уровнями, E_{Th} - энергия Таулесса для данной квантовой точки. Гамильтониан невзаимодействующих электронов,

$$H_0 = \sum_{\alpha,\sigma} \epsilon_{\alpha,\sigma} a_{\alpha\sigma}^\dagger a_{\alpha\sigma}, \quad (2)$$

записывается, как обычно, через операторы рождения ($a_{\alpha\sigma}^\dagger$) и уничтожения ($a_{\alpha\sigma}$). Он содержит в себе зависящие от спина ($\sigma = \pm$) одночастичные уровни $\epsilon_{\alpha,\sigma}$. В дальнейшем мы будем предполагать что уровни испытывают зеemanовское расщепление магнитным полем B , т.е. $\epsilon_{\alpha,\sigma} = \epsilon_\alpha + g_L \mu_B B \sigma / 2$. Здесь g_L и μ_B - g -фактор Ланде и магнетон Бора. Зарядовая часть гамильтониана

$$H_C = E_c (\hat{n} - N_0)^2, \quad (3)$$

описывает прямое кулоновское взаимодействие в нульмерном приближении, $E_{Th}/\delta \gg 1$. Здесь

$$\hat{n} = \sum_{\alpha} n_{\alpha} = \sum_{\alpha,\sigma} a_{\alpha,\sigma}^\dagger a_{\alpha,\sigma} \quad (4)$$

оператор числа частиц и N_0 фоновый заряд. Мы будем пользоваться системой единиц $e = \hbar = 1$. Слагаемое,

$$H_S = -J_{\perp} (\hat{S}_x^2 + \hat{S}_y^2) - J_z \hat{S}_z^2, \quad (5)$$

представляет собой обменное взаимодействие внутри КТ. Оператор полного спина

$$\hat{S} = \frac{1}{2} \sum_{\sigma\sigma'} a_{\alpha\sigma}^\dagger \boldsymbol{\sigma}_{\sigma\sigma'} a_{\alpha\sigma'} \quad (6)$$

определен через обычные матрицы Паули $\boldsymbol{\sigma}$.

В универсальном гамильтониане межэлектронное взаимодействие вместо полного набора матричных элементов характеризуется всего тремя параметрами: зарядовой энергией E_c , обменной энергией J и энергией обмена в куперовском канале J_c – мезоскопические флуктуации около этого универсального гамильтониана подавлены по параметру δ/E_{Th} .

В случае изотропного, Гейзенберговского обмена $J_\perp = J_z$, гамильтониан (1) сводится к универсальному гамильтониану, который описывает КТ в пределе $E_{Th}/\delta \gg 1$. [6] В этом предельном случае одночастичные уровни ϵ_α случайны. Их статистика (в отсутствии магнитного поля, $B = 0$) описывается ортогональным ансамблем Вигнера-Дайсона. Гамильтониан (1) с Изинговским обменом, $J_\perp = 0$, и $B = 0$ может быть использован для описания двумерных КТ со спин-орбитальным взаимодействием [4, 5]. В этом случае статистика ϵ_α описывается унитарным ансамблем Вигнера-Дайсона.

Мы будем рассматривать переход от гейзенберговского к изинговскому обменному взаимодействию с помощью универсального гамильтониана с одноосевой анизотропией обменного взаимодействия. Хотя эта модель не имеет полноценного микроскопического обоснования она может быть применима для ферромагнитных частиц нанометрового масштаба. Например, существенная анизотропия обменного взаимодействия была обнаружена в экспериментах по изучению туннельного спектра таких наночастиц [7]. Модель похожая на гамильтониан с анизотропным обменным взаимодействием позволяет объяснить основные особенности экспериментально измеренного спектра возбуждений [8]. Анизотропия обменного взаимодействия может быть вызвана магнитокристаллической анизотропией в объеме, анизотропией поверхности и формы. Наличие спин-орбитального взаимодействия приводит к большим мезоскопическим флуктуациям в анизотропной части обменного взаимодействия [9, 10]. В квантовых точках анизотропное обменное взаимодействие может быть вызвано ферромагнитными контактами [11].

Результат для статистической суммы большого канонического ансамбля $Z = \text{Tr} e^{-\beta H + \beta \mu \hat{n}}$ (μ - химический потенциал) для системы с гамильтонианом (3) имеет следующий вид

$$Z(b) = \sum_{n_\uparrow, n_\downarrow} Z_{n_\uparrow} Z_{n_\downarrow} e^{-\beta E_c (n - N_0)^2 + \beta J_\perp m(m+1) + \beta \mu n} \text{sgn}(2m+1) \sum_{l=-|m+1/2|+1/2}^{|m+1/2|-1/2} e^{\beta (J_z - J_\perp) l^2 - \beta b l}. \quad (7)$$

Здесь $b = g_L \mu_B B/2$. Целые числа n_\uparrow и n_\downarrow представляют собой число частиц со спином вверх и спином вниз, соответственно. Полное число электронов $n = n_\uparrow + n_\downarrow$, и $m = (n_\uparrow - n_\downarrow)/2$. Заметим, что для конфигурации с заданными n_\uparrow и n_\downarrow полный спин равен $S = |m + 1/2| - 1/2$. Целое число l соответствует z проекции полного спина \mathbf{S} . Множители Z_{n_\uparrow} и Z_{n_\downarrow} являются статистическими суммами канонического ансамбля для n_\uparrow и n_\downarrow невзаимодействующих бесспиновых электронов. Каноническая статистическая сумма считает вклады от одночастичных уровней энергии и дается интегралами Дарвина-Фаулера:

$$Z_n = \int_0^{2\pi} \frac{d\theta}{2\pi} e^{-in\theta} \prod_{\gamma} (1 + e^{i\theta - \beta\epsilon_{\gamma}}). \quad (8)$$

Для гейзенберговского обменного взаимодействия, $J_\perp = J_z$ наш ответ (7) совпадает с результатами известными из литературы [3, 17, 16]. В случае изинговского обменного взаимодействия, $J_\perp = 0$, наш результат (7) согласуется с результатами из [18].

Продольная спиновая восприимчивость определяемая следующим образом

$$\chi_{zz}(T, b) \equiv T \frac{\partial^2}{\partial b^2} \ln Z, \quad (9)$$

имеет для нашей системы следующий вид

$$\begin{aligned} \chi_{zz} = & \frac{e^{-\beta J_\perp/4}}{2\pi \sqrt{J_\perp^2 |J_z - J_\perp|}} \int_{-\infty}^{\infty} dh d\mathcal{B} e^{-\frac{1}{4\beta J_\perp} [4h^2 + \beta^2 (b + \eta\mathcal{B})^2]} \frac{\text{sh}(h)}{\text{sh}^3(\beta(b + \eta\mathcal{B})/2)} e^{-\frac{\beta\mathcal{B}^2}{4|J_z - J_\perp|}} \\ & \times \left[\text{sh}((b + \eta\mathcal{B})h/J_\perp) \left(h^2 \text{sh}^2 \frac{\beta(b + \eta\mathcal{B})}{2} + \frac{\beta^2 J_\perp^2}{4} (1 + \text{ch}^2 \frac{\beta(b + \eta\mathcal{B})}{2}) \right) \right. \\ & \left. - \frac{\beta h}{2} \text{ch}((b + \eta\mathcal{B})h/J_\perp) \text{sh} \beta(b + \eta\mathcal{B}) \right] \prod_{\sigma} e^{\beta\Omega_0(\bar{\mu}) - \beta\Omega_0(\bar{\mu} + h\sigma/\beta)}. \end{aligned} \quad (10)$$

Для поперечной спиновой восприимчивости мы будем пользоваться следующим определением (см, например, [20])

$$\chi_\perp(\omega) = \frac{i}{Z} \int_0^\infty dt e^{i(\omega + i0^+)t} \text{Tr} \left([\hat{S}_+(t), \hat{S}_-(0)] e^{-\beta H} \right), \quad (11)$$

где $\hat{S}_\pm = \hat{S}_x \pm i\hat{S}_y$.

Точное выражение для динамической спиновой восприимчивости дается следующим

выражением

$$\begin{aligned} \chi_{\perp}(\omega) = & \frac{1}{Z} \sum_{n_{\uparrow}, n_{\downarrow}} Z_{n_{\uparrow}} Z_{n_{\downarrow}} e^{-\beta E_c(n-N_0)^2 + \beta J_{\perp} m(m+1) + \beta \mu n} \operatorname{sgn}(2m+1) \sum_{l=-|m+1/2|+1/2}^{|m+1/2|-1/2} e^{\beta(J_z - J_{\perp})l^2 - \beta bl} \\ & \times \sum_{\sigma=\pm} \frac{\sigma[m(m+1) - l^2] - l}{\omega + b + (J_{\perp} - J_z)(2l + \sigma) + i0^+}. \end{aligned} \quad (12)$$

Пользуясь преобразованиями Вея-Нормана-Колоколова [21],[22] можно получить следующий точный результат для туннельной плотности состояний

$$\begin{aligned} \nu(\varepsilon) = & \frac{1 + e^{-\beta\varepsilon}}{Z} \sum_{n_{\uparrow}, n_{\downarrow}} Z_{n_{\uparrow}} Z_{n_{\downarrow}} e^{-\beta E_c(n-N_0)^2 + \beta \mu n + \beta J_{\perp} m(m+1)} \operatorname{sgn}(2m+1) \sum_{l=-|m+1/2|+1/2}^{|m+1/2|-1/2} e^{\beta(J_z - J_{\perp})l^2} \\ & \times \sum_{\alpha} \left\{ \delta\left(\varepsilon - \epsilon_{\alpha} + \mu - E_c(2n - 2N_0 + 1) - J_{\perp}(m + 1/4) + (J_z - J_{\perp})(l + 1/4)\right) \right. \\ & \times \frac{m-l}{m} \left[\frac{Z_{n_{\downarrow}}(\epsilon_{\alpha})}{Z_{n_{\downarrow}}} - \frac{Z_{n_{\uparrow}}(\epsilon_{\alpha})}{(2m+1)Z_{n_{\uparrow}}} \right] + \frac{2m+2+2l}{2m+1} \frac{Z_{n_{\uparrow}}(\epsilon_{\alpha})}{Z_{n_{\uparrow}}} \\ & \left. \times \delta\left(\varepsilon - \epsilon_{\alpha} + \mu - E_c(2n - 2N_0 + 1) + J_{\perp}(m + 3/4) + (J_z - J_{\perp})(l + 1/4)\right) \right\}. \end{aligned} \quad (13)$$

Каждое слагаемое в Ур. (13) соответствует туннелированию электрона энергией ε и заданным спином s (на) одночастичного уровня ϵ_{α} . Каждая дельта-функция отражает закон сохранения энергии. Множитель $Z_n(\epsilon_{\alpha})/Z_n$ соответствует вероятности того, что одночастичный уровень с энергией ϵ_{α} не занят при условии, что полное число электронов n . В изотропном пределе, $J_z = J_{\perp}$, Ур. (13) совпадает с результатом полученным в [17],[16]. В случае Изинговского обменного взаимодействия, $J_{\perp} = 0$, Ур. (13) преобразуется в результат из [18]. В отсутствии обменного взаимодействия, $J_z = J_{\perp} = 0$, результат (13) совпадает с выражением из [19].

Из-за снятия вырождения многочастичного спектра обменным взаимодействием каждый дельта-пик для изотропного случая заменяется $2m+1$ пиком. Огибающая этого множества пиков имеет ширину порядка $2m(J_z - J_{\perp})$. Как мы покажем ниже это приводит к размытию пика в туннельной плотности состояний по сравнению с изотропным случаем.

В главе 2 анализируются выражения из предыдущей главы для эквидистантного одночастичного спектра квантовой точки. Строго говоря, квантовая точка с эквидистантным спектром это идеализация. Однако, цель диссертационной работы заключается в исследовании влияния анизотропии обменного взаимодействия на систему. Поэтому чтобы ис-

ключить эффекты связанные с флуктуациями расстояний между уровнями рассмотрим сначала простейший спектр – эквидистантный.

В анизотропном случае есть множество температурных интервалов с различным поведением продольной спиновой восприимчивости. При температурах $\max\left\{\delta, \frac{\delta(J_z - J_\perp)}{(\delta - J_z)}\right\} \ll T \ll \frac{\delta^2(J_z - J_\perp)}{(\delta - J_\perp)(\delta - J_z)}$, мы находим

$$\chi_{zz}(T) = \frac{1}{2(\delta - J_z)} + \frac{\beta}{4} \frac{\delta^2}{(\delta - J_z)^2}. \quad (14)$$

Для интервала температур $\max\left\{\delta, \frac{(\delta - J_\perp)(J_z - J_\perp)}{(\delta - J_z)}\right\} \ll T \ll \frac{\delta(J_z - J_\perp)}{(\delta - J_z)}$, мы получаем

$$\chi_{zz}(T) = \frac{1}{2(\delta - J_z)} + \frac{\beta}{4} \frac{J_\perp^2}{(\delta - J_z)^2}. \quad (15)$$

Если температура находится внутри интервала $\max\left\{\delta, \frac{J_\perp^2(J_z - J_\perp)}{(\delta - J_\perp)(\delta - J_z)}\right\} \ll T \ll \frac{(\delta - J_\perp)(J_z - J_\perp)}{(\delta - J_z)}$ спиновая восприимчивость в нулевом магнитном поле становится равной

$$\chi_{zz}(T) = \frac{1}{2(\delta - J_z)} + \frac{1}{2\sqrt{\pi}} \frac{J_\perp \sqrt{\beta J_*}}{(\delta - J_z)(J_z - J_\perp)}. \quad (16)$$

Наконец, для самых низких температур, $\delta \ll T \ll \min\left\{\frac{J_\perp^2(J_z - J_\perp)}{(\delta - J_\perp)(\delta - J_z)}, \frac{(\delta - J_\perp)(J_z - J_\perp)}{(\delta - J_z)}\right\}$, мы находим

$$\chi_{zz}(T) = \frac{1}{2(\delta - J_z)} + \frac{\beta}{4} \frac{J_\perp^2}{(\delta - J_z)^2}. \quad (17)$$

При высоких температурах $T \gg J_\perp^2/(\delta - J_z)$ наш результат (17) подразумевают фермижидкостное поведение $\chi_{zz}(T)$. При низких температурах $T \ll J_\perp^2/(\delta - J_z)$ наши ответы (15) и (17) приводят к температурной зависимости спиновой восприимчивости типа Кюри. В промежуточной области зависимость от температуры имеет необычный корневой вид (Ур. (16)).

Поведение $\chi_\perp(\omega)$ как функции частоты показана на Рис. 2. В пределе больших частот или сильных магнитных полей, $\beta(\delta - J_\perp)|\varpi| \gg 1$, мнимая часть поперечной спиновой восприимчивости экспоненциально мала:

$$\text{Im } \chi_\perp(\omega) = \frac{\varpi \sqrt{\pi \beta \delta}}{|J_z - J_\perp| Z_S} \exp\left[-\beta(\delta - J_z)|\varpi|(|\varpi| + 1) + \beta J_\perp |\varpi| - \beta b \varpi\right]. \quad (18)$$

Здесь $\varpi = (\omega + b)/[2(J_z - J_\perp)]$. В отсутствии магнитного поля, $b = 0$, $\text{Im } \chi_\perp$ является нечетной функцией частоты ω . Для $\omega \rightarrow 0$ мнимая часть поперечной спиновой восприимчивости имеет линейное поведение:

$$\text{Im } \chi_\perp(\omega) = \frac{\omega \sqrt{\pi \beta \delta}}{2|J_z - J_\perp|(\delta - J_\perp) Z_S} \left[\frac{2\delta - J_\perp}{2(\delta - J_\perp)} + \frac{\sqrt{\pi}}{2\sqrt{\beta(\delta - J_\perp)}} \mathcal{G}\left(\frac{\beta J_\perp^2}{4(\delta - J_\perp)}\right) \right] \quad (19)$$

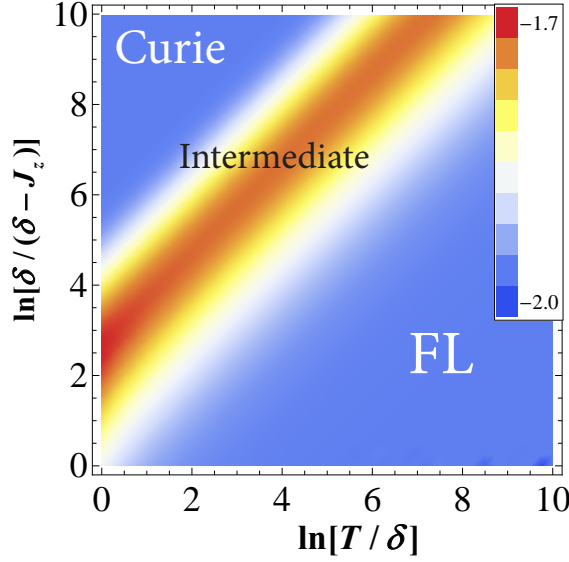


Рисунок 1: Зависимость $-\frac{d \ln[\chi_{zz} - \frac{\delta}{2(\delta - J_z)}]}{d(\delta - J_z)}$ от $\ln \frac{T}{\delta}$ и $\ln \frac{\delta}{\delta - J_z}$ для $J_{\perp} = 0.3\delta$. В левом верхнем углу поведение типа Кюри доминирует. В правой нижней области поправка типа Кюри к результату ферми-жидкостного типа, $\left[\chi_{zz} - \frac{\delta}{2(\delta - J_z)}\right] \propto \frac{1}{(\delta - J_z)^2}$ мала. Красная область соответствует промежуточному режиму в котором поправка к ферми-жидкостному результату $\left[\chi_{zz} - \frac{\delta}{2(\delta - J_z)}\right] \propto \frac{1}{T^{1/2}(\delta - J_z)^{3/2}}$ из-за поперечных степеней свободы.

где функция

$$\mathcal{G}(x) = (1 + 2x)e^x \operatorname{erf}(\sqrt{x}). \quad (20)$$

В пределе нулевых температур для туннельной плотности состояний имеем

$$\begin{aligned} \nu(\varepsilon) = & \sum_{\epsilon_{\alpha} > \epsilon_{\frac{N_0}{2} - S}} \delta\left(\tilde{\varepsilon}_{\alpha} - J_z S - \frac{J_{\perp}}{2} + \frac{J_z}{4}\right) - \frac{1}{2S + 1} \sum_{\epsilon_{\alpha} > \epsilon_{\frac{N_0}{2} + S}} \delta\left(\tilde{\varepsilon}_{\alpha} - J_z S - \frac{J_{\perp}}{2} + \frac{J_z}{4}\right) \\ & + \frac{1}{2S + 1} \sum_{\epsilon_{\alpha} > \epsilon_{\frac{N_0}{2} + S}} \delta\left(\tilde{\varepsilon}_{\alpha} + (2J_{\perp} - J_z)S + \frac{J_{\perp}}{2} + \frac{J_z}{4}\right) + \sum_{\epsilon_{\alpha} > \epsilon_{\frac{N_0}{2} + S}} \delta\left(\tilde{\varepsilon}_{\alpha} + J_z S + \frac{J_{\perp}}{2} + \frac{J_z}{4}\right). \end{aligned} \quad (21)$$

Здесь $\tilde{\varepsilon}_{\alpha} = \varepsilon + \mu - E_c - \epsilon_{\alpha}$. Отметим, что в огибающей плотности состояний есть только один максимум с избыточной площадью $J_{\perp}/2$.

В главе 3 исследуется влияние флуктуаций одночастичного спектра квантовой точки на спиновую восприимчивость. Центральным вопросом здесь будет вопрос о смещении стоунеровской неустойчивости за счет флуктуаций.

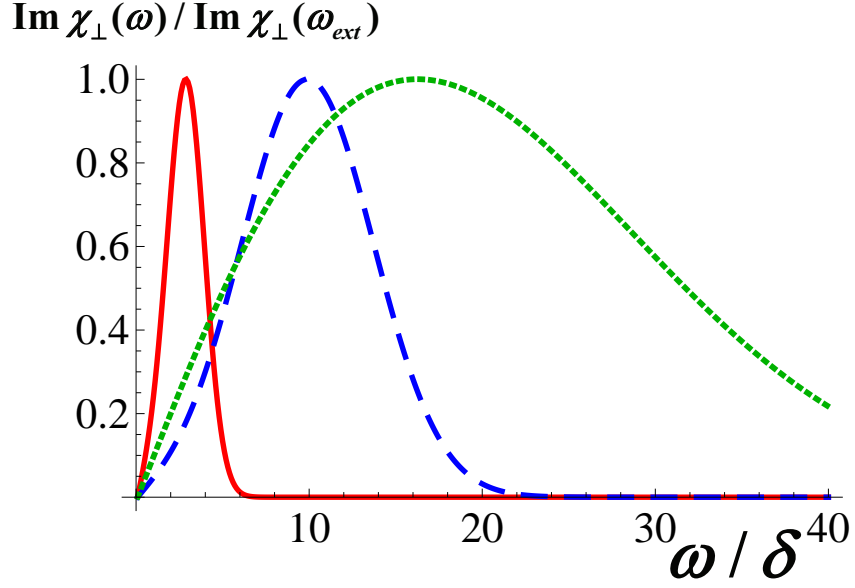


Рисунок 2: Зависимость $\text{Im } \chi_{\perp}(\omega) / \text{Im } \chi_{\perp}(\omega_{ext})$ от ω для $J_z = 0.98\delta$ и нескольких значений J_{\perp} : $J_{\perp} = 0.92\delta$ (красная сплошная линия), $J_{\perp} = 0.75\delta$ (синяя пунктирная линия) и $J_{\perp} = 0$ (зеленая линия из точек). Линия сжимается к $\omega = 0$ при приближении к изотропному случаю.

Функция

$$\beta \sum_{\sigma} [\Omega_0(\tilde{\mu}) - \Omega_0(\tilde{\mu} + h\sigma/\beta)] = \int_{-\infty}^{\infty} dE \nu_0(E) \ln \left[1 + \frac{\text{sh}^2(h/2)}{\text{ch}^2(E/2T)} \right] \quad (22)$$

которая возникает в Ур. (10) зависит от конкретной реализации одночастичного спектра через одночастичную плотность состояний $\nu_0(E) = \sum_{\alpha} \delta(E + \tilde{\mu} - \epsilon_{\alpha})$. Здесь $\tilde{\mu}$ – перенормированный химический потенциал. При условии $h^2 \ll \exp(\beta\tilde{\mu})$, мы можем написать

$$\beta \sum_{\sigma} [\Omega_0(\tilde{\mu}) - \Omega_0(\tilde{\mu} + h\sigma/\beta)] = \frac{h^2}{\beta\delta} - V(h), \quad (23)$$

где

$$V(h) = - \int_{-\infty}^{\infty} dE \delta\nu_0(E) \ln \left[1 + \frac{\text{sh}^2(h/2)}{\text{ch}^2(E/2T)} \right]. \quad (24)$$

Здесь $\delta\nu_0(E)$ – отклонение плотности состояний $\nu_0(E)$ от его среднего значения по всем реализациям одночастичного спектра: $1/\delta = \overline{1/\Delta} = \overline{\nu_0(E)}$.

Информация о флуктуациях одночастичного спектра заключена в четной случайной функции $V(h)$ через плотность состояний (см Ур. (24)). Напомним что одночастичная

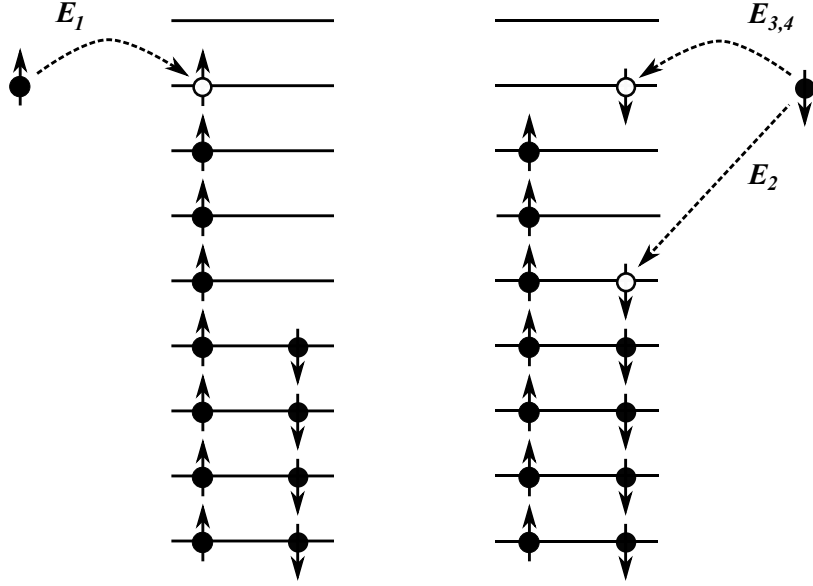


Рисунок 3: Туннелирование электрона со спином вверх(слева) и электрона со спином вниз(справа) в квантовую точку с конечной величиной спина в основном состоянии

плотность состояний $\nu_0(E)$ имеет негауссову статистику [23]. Однако, при $\max\{|h|, T/\delta\} \gg 1$ функция $V(h)$ -гауссова случайная величина с нулевым средним [23]. Двухточечная корреляционная функция величины V может быть записана следующим образом:

$$\overline{V(h_1)V(h_2)} = \sum_{\sigma=\pm} L(h_1 + \sigma h_2) - 2L(h_1) - 2L(h_2),$$

$$L(h) = \frac{2}{\pi^2 \beta} \int_0^{|h|} dt t \left[\operatorname{Re} \psi \left(1 + \frac{it}{2\pi} \right) + \gamma \right]. \quad (25)$$

При малых флуктуациях можно проделать вычисления по теории возмущений по $V(h)$.

В области I, $\bar{J}_z \max\{1, (b/J_z)\} \ll T$, поправки к продольной спиновой восприимчивости всегда малы. Следовательно теория возмущений оправдана и можно получить следующий результат

$$\bar{\chi}_{zz} = \frac{1}{2(\delta - J_z)} + \frac{3\zeta(3)}{4\pi^4 \beta} \frac{\delta^3 J_z}{(\delta - J_z)^3 T^2} - \frac{45\zeta(5)}{16\pi^6 \beta} \frac{\delta^4 J_z^2}{(\delta - J_z)^4 T^3} \left[1 + \frac{2}{3} \frac{\delta b^2}{J_z T (\delta - J_z)} \right]. \quad (26)$$

В области II, $\bar{J}_z \gg T \gg \max\{\delta, \bar{J}_z (b/J_z)^2\}$, результат имеет следующий вид

$$\bar{\chi}_{zz} = \frac{1}{2(\delta - J_z)} + \frac{\ln 2}{2\beta \pi^2} \frac{\delta^2}{T(\delta - J_z)^2} - \frac{1}{4\pi^2 \beta} \frac{\delta^3 b^2}{J_z (\delta - J_z)^3 T^2}. \quad (27)$$

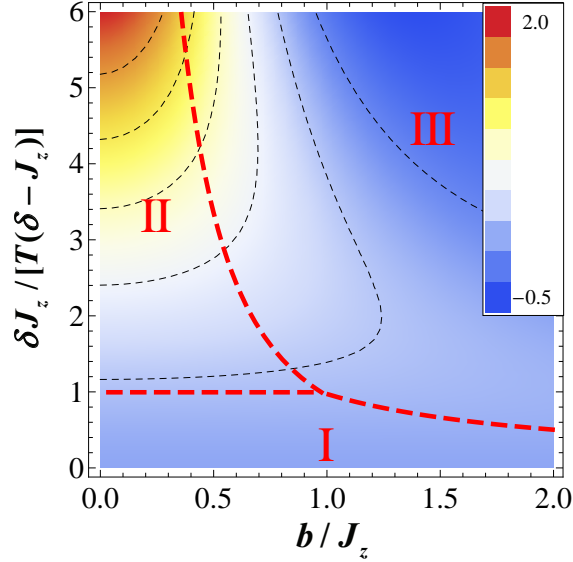


Рисунок 4: Различные области поведения относительной поправки к $\bar{\chi}_{zz}$ из-за флуктуаций для случая изинговского обменного взаимодействия от безразмерного магнитного поля и обратной температуры, b/J_z и $\delta J_z/T(\delta - J_z)$. Заметим, что в нашем анализе мы предполагаем $T \gg \delta$.

Наконец, в области III, $\delta \ll T \ll \bar{J}_z \min\{(b/J_z), (b/J_z)^2\}$, мы находим

$$\bar{\chi}_{zz} = \frac{1}{2(\delta - J_z)} - \frac{1}{2\beta\pi^2} \frac{\delta J_z}{(\delta - J_z)b^2}. \quad (28)$$

Для магнитных полей $b \gg J_z$ эффект флуктуаций уровней подавлен и теория возмущений оправдана. При $b \sim J_z \sqrt{T/\bar{J}_z} \ll J_z$ результат (28) плавно переходит в результат (26) тогда как при $T \sim \bar{J}_z b/J_z \gg \bar{J}_z$ поправки за счет флуктуаций уровней в результат (28) и (27) становятся одного порядка.

Вопрос о сходимости спиновой восприимчивости возникает в области сильных флуктуаций. Для того чтобы ответить на этот вопрос в диссертационной работе была выведена следующая оценка сверху на хвост функции распределений спиновой восприимчивости

$$\mathcal{P}(W) \leq \exp \left\{ -\frac{\gamma}{2z^2 \ln 2} \left[W + \frac{1}{2} \ln \frac{(1-\gamma)J_z}{\bar{J}_z} \right] \right\}. \quad (29)$$

где $z = [\beta \bar{J}_z / (\pi^2 \beta)]^{1/2}$.

Таким образом хвост функции распределения сходится быстрее чем экспоненциально. Это означает сходимость спиновой восприимчивости и всех её моментов вплоть до точки в

которой в бесконечность обращается параметр z то есть вплоть до стоунеровского перехода $J_z = \delta$.

В главе 4 выводится обобщенное действие Амбегаокара-Эккерна-Шёна для квантовой точки связанной туннельными контактами с электронными резервуарами.

В работе [13] была изучена динамика полного спина и выведено обобщение действие Амбегаокара-Элиашберга-Шёна (АЭШ)[14, 15] для квантовой точки при наличии контактов в адиабатическом приближении. Это приближение позволяло разложить функцию Грина относительно функции Грина свободных электронов по остаточному члену возникшему из-за перехода во вращающуюся систему отсчета. В этой главе приводится метод устранения этого остаточного члена за счет отказа от сохранения стандартных фермионных граничных условий.

Метод позволяет вычислить статистическую сумму и функцию Грина и состоит из следующих шагов:

- 1) Ввести вспомогательное преобразование Хаббарда-Стратоновича чтобы избавиться от нелинейных членов взаимодействия.
- 2) Откалибровать взаимодействие – информация о взаимодействии сохраниться лишь в ζ .
- 3) Проинтегрировать по фермионным полям.
- 4) Проинтегрировать по вспомогательным полям Хаббарда-Стратоновича.

Результатом этой главы является следующее выражение для мацубаровского действия АЭШ

$$S_{AES} = S^{(0)} + S^{(1)} + S^{(g)} \quad (30)$$

где

$$S^{(0)} = -\frac{1}{4J} \int_0^\beta d\tau [\rho^2 + 4\kappa^+ \kappa^-] + \frac{1}{2} \int_0^\beta d\tau \rho, \quad (31)$$

$$S^{(1)} = \sum_\alpha \sum_{\sigma=\pm} \ln (1 + e^{-\beta(\epsilon_\alpha - \mu + \sigma h_\beta)}),$$

$$2 \operatorname{ch} \beta h_\beta = 2 \operatorname{ch} \int_0^\beta \frac{\rho(\tau)}{2} d\tau + e^{\frac{1}{2} \int_0^\beta \rho(\tau) d\tau} \kappa^+(\beta) \int_0^\beta \kappa^-(\tau) e^{-\int_0^\tau \rho(\tau') d\tau'} d\tau, \quad (32)$$

И

$$\begin{aligned}
S^{(g)} = & -t^2 \int_0^\beta d\tau_1 d\tau_2 G_r(\tau_{21}) \frac{1}{2 \operatorname{sh}(\beta h_\beta)} \left\{ \left[G_d^{(0)}(\tau_{12}, \mu + h_\beta) e^{(\beta-\tau)h_\beta} - G^{(0)}(\tau_{12}, \mu - h_\beta) e^{-(\beta-\tau)h_\beta} \right] \right. \\
& \times \left[A_{\tau_1} D_{\tau_2} - B_{\tau_1} C_{\tau_2} - C_{\tau_1} B_{\tau_2} + D_{\tau_1} A_{\tau_2} \right] + \left[G_d^{(0)}(\tau, \mu - h_\beta) e^{\tau h_\beta} - G_d^{(0)}(\tau, \mu + h_\beta) e^{-\tau h_\beta} \right] \\
& \times \left[A_{\tau_1} D_{\tau_\beta} D_{\tau_2} + A_{\tau_1} B_{\tau_\beta} C_{\tau_2} - B_{\tau_1} C_{\tau_\beta} D_{\tau_2} - B_{\tau_1} A_{\tau_\beta} C_{\tau_2} \right. \\
& \left. \left. - C_{\tau_1} D_{\tau_\beta} B_{\tau_2} - C_{\tau_1} B_{\tau_\beta} A_{\tau_2} + D_{\tau_1} C_{\tau_\beta} B_{\tau_2} + D_{\tau_1} A_{\tau_\beta} A_{\tau_2} \right] \right\}. \tag{33}
\end{aligned}$$

В заключении сформулированы выводы следующие из диссертационной работы.

Работы автора по теме диссертации

1. D.S. Lyubshin, A.U. Sharafutdinov, and I.S. Burmistrov, Phys. Rev. B **89**, 201304(R) (2014).
2. A.U. Sharafutdinov, D.S. Lyubshin, and I.S. Burmistrov, Phys. Rev. B **90**, 195308 (2014).
3. A. U. Sharafutdinov and I. S. Burmistrov, Phys. Rev. B **92**, 035439 (2015).

Литература

- [1] M.N. Kiselev, Y. Gefen, Phys. Rev. Lett. **96**, 066805 (2006).
- [2] G. Usaj, H. Baranager, Phys. Rev. B **67**, 121308 (2003).
- [3] Y. Alhassid, T. Rupp, Phys. Rev. Lett. **91**, 056801 (2003).
- [4] I.L. Aleiner, V.I. Fal'ko, Phys. Rev. Lett. **87**, 256801 (2001).
- [5] Y. Alhassid, T. Rupp, Arxiv: cond-mat/0312691 (unpublished).
- [6] I.L. Kurland, I.L. Aleiner, B.L. Altshuler, Phys. Rev. B **62**, 14886 (2000).
- [7] S. Guéron, M.M. Deshmukh, E.B. Myers, D.C. Ralph, Phys. Rev. Lett. **83**, 4148 (1999);
M.M. Deshmukh, S. Kleff, S. Guéron, E. Bonet, A.N. Pasupathy, J. von Delft, D.C. Ralph,
Phys. Rev. Lett. **87**, 226801 (2001).
- [8] C.M. Canali, A.H. MacDonald, Phys. Rev. Lett. **85**, 5623 (2000); S. Kleff, J. von Delft,
M.M. Deshmukh, D.C. Ralph, Phys. Rev. B **64**, 220401 (2001); S. Kleff, J. von Delft, Phys.
Rev. B **65**, 214421 (2002).
- [9] A. Cehovin, C.M. Canali, A.H. MacDonald, Phys. Rev. B **66**, 094430 (2002); G. Usaj,
H.U. Baranger, Europhys. Lett. **72**, 110 (2005).
- [10] P.W. Brouwer, D.A. Gorokhov, Phys. Rev. Lett. **95**, 017202 (2005).
- [11] M. Misiorny, M. Hell, M.R. Wegewijs, Nat. Phys. **9**, 801 (2013).
- [12] Y. Alhassid, Rev. Mod. Phys. **72**, 895 (2000)
- [13] A. Shnirman, Y. Gefen, A. Saha, I. S. Burmistrov, M. N. Kiselev, A. Altland, Phys. Rev.
Lett. **114**, 176806 – (2015)
- [14] V. Ambegaokar, U. Eckern, G. Schön, Phys. Rev. Lett. **48**, 1745 (1982)
- [15] U. Eckern, G. Schön, V. Ambegaokar, Phys. Rev. B **30**, 6419 (1984)
- [16] I.S. Burmistrov, Y. Gefen, M.N. Kiselev, Phys. Rev. B **85**, 155311 (2012).
- [17] I.S. Burmistrov, Y. Gefen, M.N. Kiselev, JETP Lett. **92**, 179 (2010).

- [18] B. Nissan-Cohen, Y. Gefen, M.N. Kiselev, I.V. Lerner, Phys. Rev. B **84**, 075307 (2011).
- [19] N. Sedlmayr, I. V. Yurkevich, I. V. Lerner, Europhys. Lett. **76**, 109 (2006).
- [20] G. D. Mahan, *Many-particle physics*, Plenum Press, N.Y. (1990).
- [21] J. Wei, E. Norman, J. Math. Phys. **4**, 575 (1963).
- [22] I. V. Kolokolov, Phys. Lett. **A** 114, 99 (1986); Ann. Phys. (N.Y.) **202**, 165 (1990); M. Chertkov, I. V. Kolokolov, Phys. Rev. B **51**, 3974 (1995); Sov. Phys. JETP **79**, 824 (1994); I. V. Kolokolov, Int. J. Mod. Phys. B **10**, 2189 (1996).
- [23] M. L. Mehta, *Random Matrices* (Boston: Academic) (1991).